

I - 1 正方形箱形断面をもつ円弧曲線桁の弾塑性解析

九州大学 学生員 〇金子常光

〃 正員 今井富士夫

〃 学生員 日野伸一

1. 考え方 部材に曲げとねじりの組み合せ負荷を受ける円弧曲線桁の弾塑性解析法としては、塑性ヒンジ理論による極限解析法があるが、この解析法は、塑性域の拡がりを考慮できない簡易解析法であり、より厳密な円弧曲線桁の弾塑性挙動を追跡するためには、部材の断面内と部材軸方向の塑性域の拡がりを考慮する弾塑性解析法が必要となってくる。本解析法は、部材軸方向の塑性域の拡がりについては、塑性変形量を考慮する補エネルギー法を用いた変形法を採用し、断面内の塑性域の拡がりについては、ひずみ増分理論と断面分割法と併用したものを採用している。すなわち、断面については、基礎的な段階として、そりの影響を無視できる薄肉正方形箱形断面を用い、解析上用いた仮定は、垂直応力に対する平面保持の法則が成立すること、およびせん断応力に対する断面は不变でかつ断面内で一様であることの2点である。

2. 基礎理論 九分割した円弧曲線桁の1部材要素ABが図-1に示す様に、直交座標(x, y, z)のxy平面にあるものとし、部材上の任意点Eにおいて部材の接線、法線方向に(x, r)の流动座標を考える。G点としては、部材の弾性重心を採用し、これを原点とする直交固定座標E(X, Y, Z)と規定する。假定基本系として、B端固定の片持振りを考え、GとAを剛棒で結び、面外荷重に対しては、Z軸方向の力 F_G^Z と、X, Y軸まわりのモーメント M_G^X, M_G^Y の3つの不静定力を考える。E点での面外断面力は、次の様になる。

$$\left. \begin{aligned} M^r &= -M_G^X \sin \psi + M_G^Y \cos \psi + F_G^Z \cdot r \\ M^x &= M_G^Y \cos \psi + M_G^Z \sin \psi + F_G^x \cdot s \\ F^z &= F_G^Z \end{aligned} \right\} \quad \text{---(1)}$$

$$z = r, \quad \gamma = R \theta_0 \sin \psi, \quad s = R(1 - \theta_0 \cos \psi), \quad \theta_0 = \sin \psi / \rho$$

面外力は F^z で生じる補ひずみエネルギーは、せん断エネルギーを無視すると、

$$U^r = \int_A^B \int_M \phi^r dM^r ds + \int_A^B \int_M \phi^x dM^x ds \quad \text{---(2)}$$

よって、面外変形は、次式で与えられる。

$$\left. \begin{aligned} \theta_G^x &= \frac{\partial U^r}{\partial M_G^X} = \int_A^B \phi^r \frac{\partial M^r}{\partial M_G^X} ds + \int_A^B \phi^x \frac{\partial M^x}{\partial M_G^X} ds \\ \theta_G^y &= \frac{\partial U^r}{\partial M_G^Y} = \int_A^B \phi^r \frac{\partial M^r}{\partial M_G^Y} ds + \int_A^B \phi^x \frac{\partial M^x}{\partial M_G^Y} ds \\ \Delta G/R &= \frac{\partial U^r}{\partial F_G^Z} = \int_A^B \phi^r \frac{\partial M^r}{\partial F_G^Z} ds + \int_A^B \phi^x \frac{\partial M^x}{\partial F_G^Z} ds \end{aligned} \right\} \quad \text{---(3)}$$

ここで、 $\phi^r = \frac{M^r}{EI}$ 、 $\phi^x = \frac{M^x}{GJ}$ 、 $\phi^x = \frac{M^x}{GJ} + w^p$ (ただし、 ϕ^x, w^p は塑性項)として計算を行うと、次式を得る。

$$\left. \begin{aligned} \begin{bmatrix} \theta_G^x \\ \theta_G^y \\ \Delta G/R \end{bmatrix} &= \frac{R}{EI} \begin{bmatrix} a_1 & b_1 & c_1 \\ a_2 & b_2 & c_2 \\ a_3 & b_3 & c_3 \end{bmatrix} \begin{bmatrix} M_G^X \\ M_G^Y \\ RF_G^Z \end{bmatrix} + \begin{bmatrix} L_1 \\ L_2 \\ L_3 \end{bmatrix}, \quad \text{あるいは} \quad \theta_G = \frac{R}{EI} BM_G + L_{AB} \end{aligned} \right\} \quad \text{---(4)}$$

$$z = r, \quad a_1 = \alpha + K_1 B, \quad a_2 = 0, \quad a_3 = -\theta_0(\alpha + K_1 B) + 2K_1 \sin \psi, \quad b_1 = 0, \quad b_2 = \beta + K_1 \alpha, \quad b_3 = 0, \quad c_1 = a_3, \quad c_2 = 0,$$

$$c_3 = \theta_0^2 \alpha + K_1 (2\psi - 4\theta_0 \sin \psi + \theta_0^2 \beta), \quad L_1 = \int_A^B (-\phi^r \sin \psi + w^p \cos \psi) ds, \quad L_2 = \int_A^B (\phi^r \cos \psi + w^p \sin \psi) ds,$$

$$L_3 = \int_A^B (\phi^r \theta_0 \sin \psi + w^p (1 - \theta_0 \cos \psi)) ds, \quad K_1 = \frac{EI}{GJ}, \quad \alpha = \psi - \sin \psi \cos \psi, \quad \beta = \psi + \sin \psi \cos \psi$$

次に、G点と両材端A, Bの変形成分との関係式を求める。

$$\left. \begin{aligned} \begin{bmatrix} \theta_G^x \\ \theta_G^y \\ \Delta G/R \end{bmatrix} &= \begin{bmatrix} Q_1^X & Q_2^X & Q_3^X & Q_4^X \\ Q_1^Y & Q_2^Y & Q_3^Y & Q_4^Y \\ Q_1^Z & Q_2^Z & Q_3^Z & Q_4^Z \end{bmatrix} \begin{bmatrix} T_A^r \\ T_A^x \\ T_B^r \end{bmatrix}, \quad \text{あるいは} \quad \theta_G = Q T_{AB} \end{aligned} \right\} \quad \text{---(5)}$$

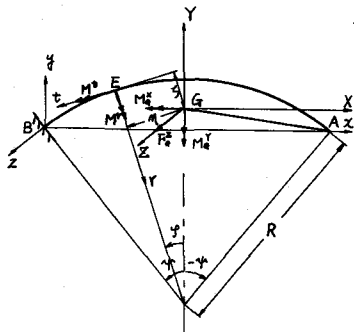


図-1

$$\text{ここで, } Q_1^x = Q_3^x = \sin \psi, Q_2^x = Q_4^y = \cos \psi, Q_4^x = Q_3^y = -\cos \psi, Q_1^z = Q_3^z = -\theta_0 \sin \psi, \\ Q_2^z = 1 - \theta_0 \cos \psi, Q_4^z = -Q_2^z$$

すなはち、材端モーメント $M_A^r, M_A^t, M_B^r, M_B^t$ は、式(1)より

$$M_{AB} = Q^T M_A, \quad \text{ここで } M_{AB} = [M_A^r M_A^t M_B^r M_B^t]^T \quad \cdots \cdots (6)$$

式(4), (5), (6)を式(1)に代入してまとめ、さらに、増分形式に改めると、

$$\dot{M}_{AB} = \frac{EI}{R} Q^T B^{-1} Q \dot{\theta}_{AB} - \frac{EI}{R} Q^T B^{-1} \dot{L}_{AB} \quad \cdots \cdots (7)$$

式(7)は、各部材要素におけるモーメントと変形のつりあい式であり、これを全体系で表示すると、

$$\dot{M} = K \dot{\theta} - K_p \dot{L} \quad \cdots \cdots (8)$$

こうに、変形の適合条件式は、正ねじり角増分と材端変位増分を括したものとすれば、

$$\dot{\theta} = A \dot{\epsilon} \quad \cdots \cdots (9)$$

一方、力のつりあい式は、外力の増分を \dot{P} とすれば、反頸関係より

$$\dot{P} = A \dot{\epsilon}^T \dot{M} \quad \cdots \cdots (10)$$

式(8), (9), (10)を(8)と(9)について整理し、まとめれば、

$$\begin{aligned} \dot{M} &= K A \dot{\epsilon} \theta - K_p \dot{L} \\ \dot{\theta} &= (A \dot{\epsilon}^T K A \dot{\epsilon})^{-1} \dot{P} + (A \dot{\epsilon}^T K A \dot{\epsilon})^{-1} A \dot{\epsilon}^T K_p \dot{L} \end{aligned} \quad \cdots \cdots (11)$$

式(11)は(8)、円弧曲線法の弾塑性解析が可能となるが、式中の未知量であるだけ、大きい要素に分割した部材要素 AB で、さらに細かく k 分割した各々の断面ごとの曲げモーメント・曲率、ねじりモーメント・ねじり半関係を求めれば算定できる。その演算骨子は次の通りである。

図-2に示す薄肉正方形箱形断面の外力と内力のつりあい式は、

$$\dot{M} = - \int_A \dot{\tau} dA, \quad N = \int_A \dot{\sigma} dA, \quad T = \int_A \dot{\tau} a dA \quad \cdots \cdots (12)$$

ここで、 M : 曲げモーメント, N : 軸力, T : ねじりモーメント,

$\dot{\tau}$: 垂直応力, $\dot{\sigma}$: セン断応力, A : 断面積

次いで、応力増分とひずみ増分の関係式は、Reussの方程式を用いて、

$$\dot{\tau} = E \dot{\epsilon} - \frac{2}{3} G \dot{\epsilon}, \quad \dot{\sigma} = G \dot{\tau} - 2G \dot{\epsilon} \quad \cdots \cdots (13)$$

ここで、 E : ヤング率, G : セン断弾性係数, $\dot{\epsilon}$: 垂直ひずみ, $\dot{\tau}$: セン断ひずみ

ここで、式(13)中のひずみは、Misesの降伏条件式を用いれば、次式で与えられる。

$$\dot{\epsilon} = (E \dot{\epsilon} + 3G \dot{\tau}) / (\frac{2}{3} E \dot{\epsilon}^2 + 6G \dot{\tau}^2) \quad \cdots \cdots (14)$$

ここで、平面保持の法則より、任意高さの垂直ひずみ増分は、上、下縁垂直ひずみ増分 $\dot{\epsilon}_u, \dot{\epsilon}_e$ を用いて

$$\dot{\epsilon} = \frac{1}{2} (1 - \frac{\dot{\epsilon}_u}{a}) \dot{\epsilon}_e + \frac{1}{2} (1 + \frac{\dot{\epsilon}_u}{a}) \dot{\epsilon}_u \quad \cdots \cdots (15)$$

よって、曲率増分中には、平面保持の法則より、

$$\dot{\omega} = (\dot{\epsilon}_e - \dot{\epsilon}_u) / 2a \quad \cdots \cdots (16)$$

一方、ねじり半増分には、正方形箱形断面やえにそりの影響を無視し、断面不变の法則およびせん断応力は断面内で一様と仮定するならば次式となる。

$$\dot{\omega} = \frac{1}{Ga} \{ \dot{\tau} + \frac{1}{2} (G \dot{\tau} \dot{\epsilon} / 4a) ds \} \quad \cdots \cdots (17)$$

式(16), (17)より、変形法公式中の止が算定できることになる。

以上、ここでは、基礎式の説明のみを行ったが、数値結果については当日発表する予定である。

〈参考文献〉

1) 今井、太田; 円弧曲線法の終局耐力および塑性挙動、九大工学集報、第51巻、第5号、昭和53年

2) 太田、中沢; 曲げおよび振りを受けた鋼管の弾塑性解析、九大工学集報、第46巻、第4号、昭和48年

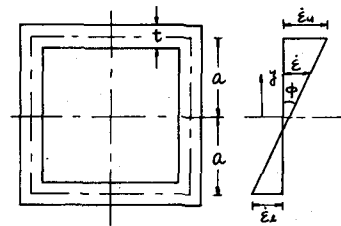


図-2